

Tafel 1—5

Die Abbildungen 1—5 zeigen die von mir aus Anatolien beschriebenen und abgebildeten Arten des Gattung Anchitherium. Die Abbildungen sind nach den entsprechenden Abbildungen im Atlas der Säugetierfauna der Erde von G. K. Ulrich und H. Diller (1924) hergestellt. Die Abbildungen 1—5 sind auf einer einzigen Seite angeordnet, um die Größe der Tiere zu verdeutlichen.

Tafel 1

Belajevina tekkayai HEISSIG

Obermiozän, Bursa — Mustafakemalpaşa — Paşalar, Anatolien, alle $\frac{2}{3}$ nat. Größe

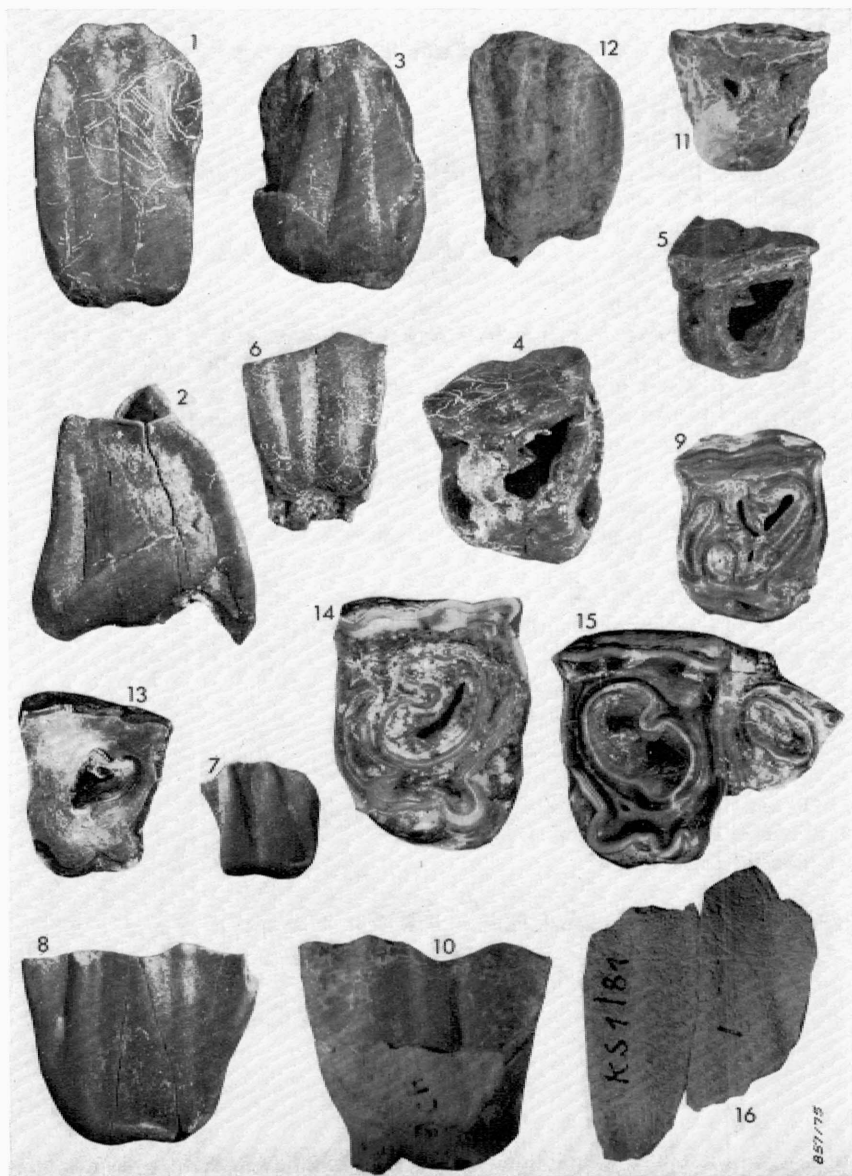
- Fig. 1: Holotypus, P⁴ re., 1968 VI 593, labial, zu S. 15
- Fig. 2: derselbe Zahn mesial
- Fig. 3: derselbe Zahn lingual
- Fig. 4: derselbe Zahn okklusal
- Fig. 5: P² re., MTA-Museum, Ankara, Nr. BP - 687, okklusal
- Fig. 6: derselbe Zahn labial, zu S. 16
- Fig. 7: D² re. Fragm., 1968 VI 594, labial, zu S. 17
- Fig. 8: M¹ re. Fragm., 1968 VI 602, labial, zu S. 16

Hispanotherium grimmii HEISSIG

Obermiozän, Anatolien, alle $\frac{2}{3}$ nat. Größe

- Fig. 9: P³ re. des Holotypus, 1968 VI 1, okklusal, Ankara — Kalecik — Çandır, zu S. 22
- Fig. 10: M² re. desselben Stükes, labial
- Fig. 11: P² li. 1968 VI 33, okklusal, Kütahya — Sabuncu — Sofça, zu S. 26
- Fig. 12: derselbe Zahn, labial
- Fig. 13: P² re., 1968 VI 22, okklusal, Muğla — Yerkesik — Çatakbağyaka, zu S. 26
- Fig. 14: P⁴ re., 1968 VI 72, okklusal, Afyon — Suzuk — Yaylacılar, zu S. 26
- Fig. 15: P⁴, M¹-Fragm. li., 1968 VI 2, okklusal, Ankara — Kalecik — Çandır, zu S. 26
- Fig. 16: M¹ re. Fragment, 1968 VI 37, labial, Kütahya — Sabuncu — Sofça, zu S. 26 ff.

Alle Stücke, außer Fig. 5, 6, in der Bayer. Staatssamml. Paläont. hist. Geol., München.



Tafel 1

Tafel 2

Hispanotherium grimmi HEISSIG

Obermiozän, Anatolien, alle $\frac{2}{3}$ nat. Größe

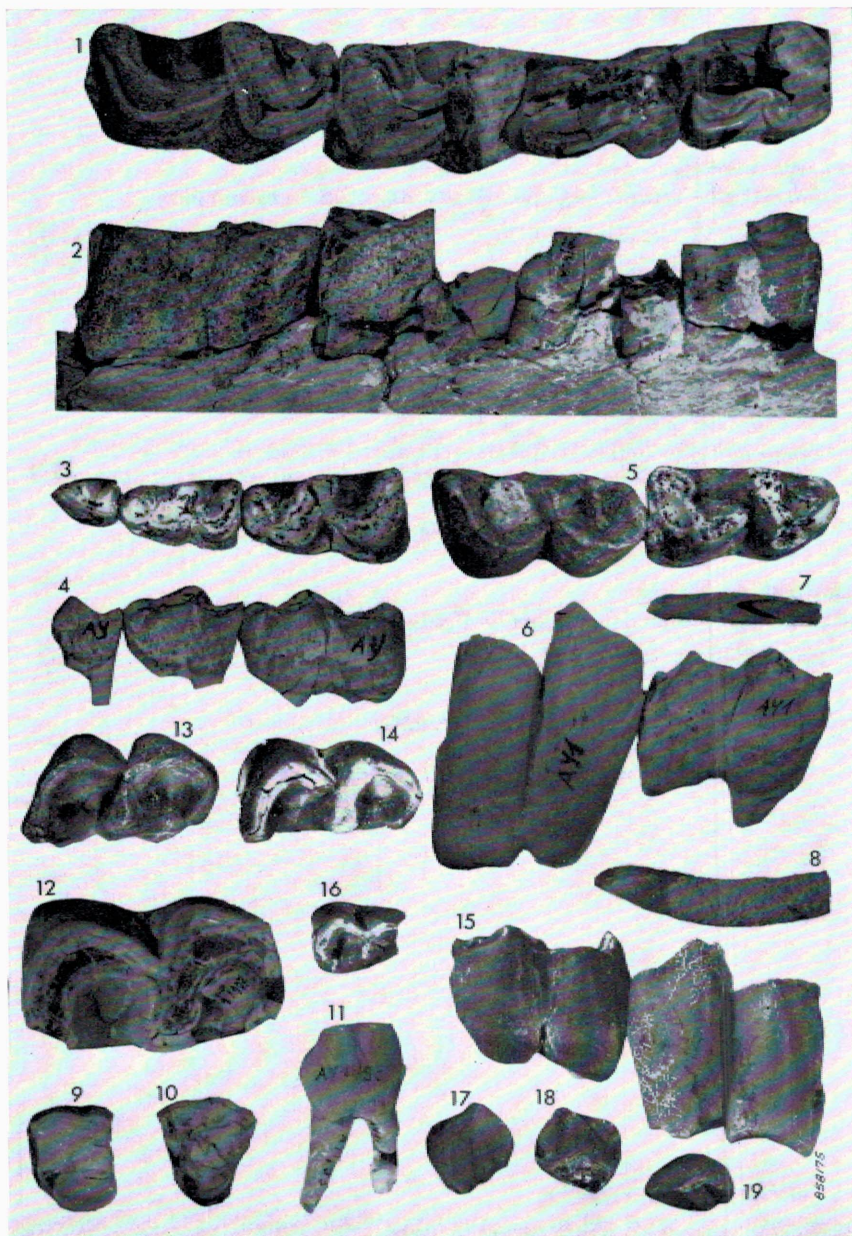
- Fig. 1: Zahnreihe $P_4—M_3$ re. des Unterkieferfragments 1968 VI 38, okklusal, Kütahya — Sabuncu — Sofça, zu S. 27
- Fig. 2: dieselbe Zahnreihe labial
- Fig. 3: Zahnreihe $P_1—D_3$ li. des juvenilen Unterkieferfragments 1968 VI 77, okklusal, Afyon — Suzuk — Yaylacilar, zu S. 27, 28
- Fig. 4: dieselbe Zahnreihe labial
- Fig. 5: D_4 und M_1 -Keim re. desselben Stückes, okklusal
- Fig. 6: dieselben Zähne labial
- Fig. 7: $DI_{1\varphi}$ re., 1968 VI 39, lingual, Kütahya — Sabuncu — Sofça, zu S. 27
- Fig. 8: $DI_{2\varphi}$ re., 1968 VI 40, mesial, Kütahya — Sabuncu — Sofça, zu S. 27
- Fig. 9: P^1 re., 1968 VI 32, okklusal, Kütahya — Sabuncu — Sofça, zu S. 26
- Fig. 10: P^1 re., 1968 VI 67, okklusal, Afyon — Suzuk — Yaylacilar, zu S. 26
- Fig. 11: derselbe Zahn labial
- Fig. 12: M_2 li., 1968 VI 78, okklusal, Afyon — Suzuk — Yaylacilar, zu S. 28

Belajevina tekkayai HEISSIG

Obermiozän, Bursa — Mustafakemalpaşa — Paşalar, Anatolien, alle, außer Fig. 17—19, $\frac{2}{3}$ nat. Größe

- Fig. 13: M_1 li., 1968 VI 610, okklusal, zu S. 18
- Fig. 14: D_4 li., 1968 VI 608, okklusal, zu S. 17
- Fig. 15: die beiden vorigen Zähne kombiniert, labial
- Fig. 16: D_2 -Fragment li., 1968 VI 604, okklusal, zu S. 17
- Fig. 17: P_1 re., 1968 VI 603, labial, $\frac{1}{2}$ nat. Größe
- Fig. 18: derselbe Zahn lingual, zu S. 17
- Fig. 19: derselbe Zahn okklusal

Alle Stücke in der Bayer. Staatssamml. Paläont. hist. Geol., München.



Tafel 2

Tafel 3

Brachypotherium brachypus (LARTET)

Obermiozän, Muğla — Yerkesik — Çarakbağyaka, Anatolien, $\frac{2}{3}$ nat. Größe

Fig. 1: I₂ li., 1968 VI 136, distal, zu S. 85

Fig. 2: derselbe Zahn lingual

Hispanotherium grimmii HEISSIG

Obermiozän, Anatolien, alle $\frac{2}{3}$ nat. Größe

Fig. 3: M³ re., 1968 VI 76, okklusal, Afyon — Suzuk — Yaylacilar, zu S. 27

Fig. 4: derselbe Zahn distolabial

Fig. 5: M³ re., 1968 VI 3, okklusal, Ankara — Kalecik — Çandır, zu S. 27

Fig. 6: M¹-Fragm. und M² re., des Holotypus (P³ Taf. 1, Fig. 9), 1968 VI 1, okklusal, Ankara — Kalecik — Çandır, zu S. 22

Fig. 7: D₄ li., 1968 VI 35, okklusal, Kütahya — Sabuncu — Sofça, zu S. 28

Belajevina tekkayai HEISSIG

Obermiozän, Bursa — Mustafakemalpaşa — Paşalar, $\frac{2}{3}$ nat. Größe

Fig. 8: D⁴ re., 1968 VI 598, okklusal, zu S. 17

Alle Stücke in der Bayer. Staatssamm. Paläont. hist. Geol., München.



Tafel 3

Tafel 4

Alle Stücke $\frac{2}{3}$ nat. Größe

Aceratherium aff. *tetradactylum* (LARTET)

- Fig. 1: P⁴ re. Fragment, 1968 VI 106, okklusal, Ankara — Kalecik — Çandır, zu S. 65
- Fig. 2: P³ re., 1968 VI 105, okklusal, Ankara — Kalecik — Çandır, zu S. 65
- Fig. 3: P² li., 1968 VI 121, okklusal, Muğla — Yatağan — Yeni Eskihisar, zu S. 65
- Fig. 4: D₂, D₃ li., 1968 VI 109, labial, Ankara — Kalecik — Çandır, zu S. 66
- Fig. 5: D₃ li. derselben Zahnreihe, okklusal

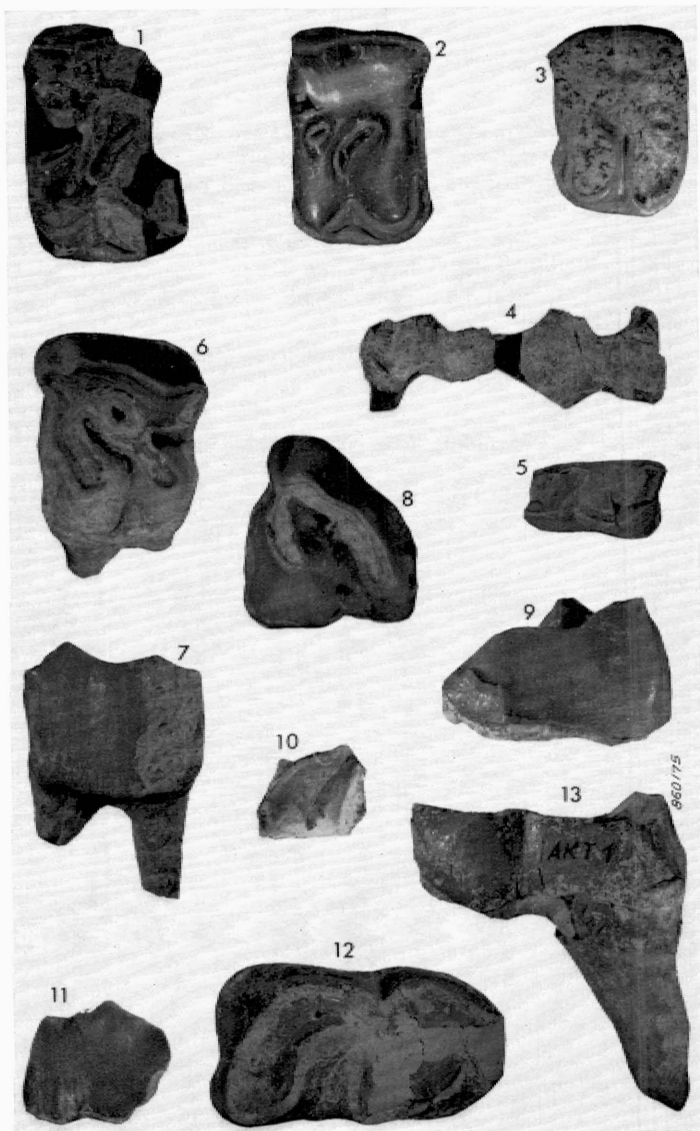
Mesaceratherium simorrense (LARTET)

- Fig. 6: P⁴ li., 1968 VI 124, okklusal, Kütahya — Sabuncu — Sofça, zu S. 75
- Fig. 7: derselbe Zahn labial
- Fig. 8: M³ li., 1968 VI 125, okklusal, Kütahya — Sabuncu — Sofça, zu S. 75
- Fig. 9: derselbe Zahn distolabial
- Fig. 10: M inf. Fragment li., 1968 VI 127, okklusal, Kütahya — Sabuncu — Sofça, zu S. 75
- Fig. 11: D³ re. Fragment, 1968 VI 123, labial, Kütahya — Sabuncu — Sofça, zu S. 74

Brachypotherium brachypus (LARTET)

- Fig. 12: M₃ li. der unteren Zahnreihen, 1968 VI 148 d, okklusal, Ankara — Kalecik — Tüney, zu S. 84
- Fig. 13: derselbe Zahn labial

Alle Stücke in der Bayer. Staatssamml. Paläont. hist. Geol., München.



Tafel 4

Tafel 5

Brachypotherium brachypus (LARTET)

Obermiozän, $\frac{2}{3}$ s nat. Größe

- Fig. 1: M¹—M³ re. Fragmente des Oberkiefers, 1968 VI 136, okklusal,
Muğla — Yerkesik — Çatakbağyaka II, zu S. 83 ff.
- Fig. 2: P²—P⁴-Fragment re. desselben Stückes, okklusal, zu S. 83
- Fig. 3: dieselben Zähne labial
- Fig. 4: M³ li. Fragment desselben Stückes, okklusal, zu S. 83
- Fig. 5: I¹ li. desselben Stückes, labial, zu S. 84
- Fig. 6: P₃ re., 1968 VI 141, labial, Kütahya — Sabuncu — Sofça, zu S. 84
- Fig. 7: derselbe Zahn okklusal
- Fig. 8: P₂ re., 1968 VI 138, okklusal, Muğla — Yerkesik — Çatakbağyaka IV, S. 84
- Fig. 9: derselbe Zahn lingual

Alle Stücke in der Bayer. Staatssamml. Paläont. hist. Geol., München.



Tafel 5